# 植物性血球凝集素诱导新骨形成加速骨折愈合

附属第二医院骨科 江 让

长期以来国内、外学者对骨折愈合机理和促进骨折愈合过程作了不少研究。我科自1977年开始通过动物实验和临床实践,在骨折血肿内注射植物性血球凝集素(Phyto-hemagglutinin,简称PHA,广州医药工业研究所制品)诱导新骨形成加速骨折愈合作了观察,现将结果报道于下,并对有关PHA诱导新骨形成的一些问题作初步讨论。

#### 资料和方法

实验设计和结果: 雄兔40只,体重3kg,实验组30只分成4小组,每组7~8只,对照组分2小组,每组5只。两组动物均在普鲁卡因局部麻醉下,按统一标准操作,用电锯截除桡骨0.5cm,造成骨质缺损。术后第1天在骨缺损处分别注射非特异性诱导物,实验组第1组注射PHA3mg(2%音鲁卡因溶化),第2组注射链球菌溶血素S1.3ml,第3组注射1:1,000氯化汞0.5ml,第4组注射葡萄球菌滤液0.5ml,以后每次1.3ml,第3组注射等渗盐水0.5ml,以后每次1组注射等渗盐水0.5ml,际别组注射等渗盐水0.5ml,际别组注射等渗盐水0.5ml,际别组注射等渗盐水0.5ml,际别组注射等渗盐水0.5ml,际别组注射等渗盐水0.5ml,际别组注射等渗盐水0.5ml,际别组对照组产量,并各提取1只切除水侧桡骨制作标本。

注射各种非特异性诱导物后,出现不同的反应,注链球菌溶血素 S 组动物反应剧烈 (可能制品粗糙), 2 ~ 3 天后全部死亡; 注葡萄球菌滤液组动物,局部有亚急性炎症反应,注1:1,000氯化汞组局部疼痛明显,注PHA组无明显局部或全身反应。

X线摄片表现: 实验组(除链球菌溶血

素 S 组外 ) 注射后第 2 周两骨折端出现新骨 反应,末端稍粗;第 3 组新骨继续增生,各 向缺损处延伸,其中葡萄球菌滤液组骨膜下新骨反应较广泛,氯化汞组新骨反应较弱, P H A 组新骨较集中于缺损 处;第 4 周两骨折端互相融合,少数尚见缺损痕迹。对照组中 1、2 两组变化相同、骨折愈合的时间较实验组延迟 1 周。

组织学表现(PHA组与对照组的光镜 下组织学变化对比):兔1(术后第10天), 骨折端有大量纤维组织生长, 骨样组织、软 骨组织增生, 对照组亦见纤维组织、骨样组 织、软骨组织增生,但不及PHA组活跃。兔 3 (术后第17天)骨折端除纤维组织、骨样 组织、软骨组织外, 有多量骨母细胞增生, 对照组则骨母细胞增生不明显。兔4(术后 第24天),骨折端除有大量骨样组织外,尚 有多量骨母细胞增生和骨小梁形成; 对照组 不明显。兔5(术后第30天),骨折端有多量 毛细血管增生,大量骨样组织钙化成骨小梁, 亦见到纤维组织移行成骨小梁(图1-1); 对照组也出现大量骨 小 梁, 与PHA组相比 (图1-2), PHA组成骨活 动 较对照组 约提前1周。对照组中注射组和不注射组组 织演变无明显差别。

3

临床 资料:自1978年9月至1980年9月,对42例新鲜骨折作PHA注射治疗。病人年龄最大71岁,最小24岁,平均44岁。42例中30例为粉碎骨折,其中4例为开放性。骨折部位,5例股骨粗隆下粉碎或横行骨折,23例股骨中下粉碎、横行或斜面骨折;9例胫腓骨中下粉碎或横行骨折;5例肱骨中下

t

粉碎或横行骨折。治疗方法,除4例开放性骨折作清创缝合外,其余均采用手法复位、小夹板固定或加持续牵引装置。

42例中20例骨折后第2天开始向血肿内注射PHA10mg,22例在骨折后第3~7天开始注射(因外地转来)。第1次注射后,每隔1~3天重复1次共4~6次。注射后,少数病例局部有胀感和轻微刺痛、个别病例有短暂低热(约2天消失)、胸闷等。

42例中2例治疗失败(1例胫骨因软组织和骨组织缺损,改用带血管皮骨瓣移植治愈,另1例因小夹板固定不妥,改用其他治疗),40例得到临床愈合\*。临床愈合所需时间。股骨粗隆下粉碎或横行骨折28~38天,股骨中下1/3粉碎或斜面或横行骨折18~38天,胫腓骨中下1/3粉碎或斜面骨折29~38天,肱骨中下1/3横行或粉碎骨折24~28天。与不注射PHA的病例相比,尽管年龄相近,骨折部位、损伤性质、骨折类型和骨折复位固定均相似,前者愈合时间缩短1/3许(表1),出院时仅给予小夹板防护。

表1 注射和不注射PHA的临床 骨折愈合时间比较

骨折部位和类型	注射PHA病例 临床骨折愈合 时间(天)	不注射PHA病 例临床骨折愈合 时间(天)
股骨粗隆下粉碎 或 <b>横</b> 行骨折	28~38	56~72
股骨 中 下1/3粉 碎或斜面或横行 骨折	18~38	56~80
胫腓骨中下1/3 粉碎或斜面骨折	29~38	60~80
肱骨 中 下1/3粉 碎或横行骨折	24~28	30~50

术组42例(包括失败2例)经过半年至2年半的随访观察结果是:1.无1例因注射

PHA产生不良影响, 2.无 1 例因 确 认临床 愈合而拆除外固定后发 生 骨 折 变形或再骨 折, 3.缩短骨折修复过程, 较早恢复劳动。

典型病例介绍:

例1. 女,住院号131059,71岁,1978年9月14日因车祸发生右侧股骨粗隆下横行骨折入院。入院时患者处于低血压状态,仅作皮肤牵引,骨折仍然错位。伤后第7天始于骨折部血肿内注入PHA10mg,后每隔3天重复1次,共4次。骨折后第4周达到临床愈合,3个月后能自由走动,因患肢错位愈合,步态略有跛行(图2)。

例2. 男,29岁,住院号131178,1978年9月22日从高处坠下发生左股骨中斜面骨折入院。手法复位、骨牵引、小夹板固定,伤后第1天骨折血肿内注PHA10mg,此后每隔3天重复注射1次,共5次。骨折后第13天X线显示骨痂形成,第18天进行力学试验下地迈5步,未见局部畸形,证实临床愈合(图3)。出院后主动功能锻炼,伤后43天弃杖复工,随访2年余,患肢功能正常。

例3. 男,58岁,住院号136085,于1979年9月22日因车祸发生左股骨下粉碎骨折入院。手法复位,骨牵引、小夹板固定。伤后第4天骨折血肿内注入PHA10mg,以后每隔2天重复1次,共6次,第35天进行力学检查、反折试验、站立负重并迈5步试验,以及X线显示骨折线间有骨小梁构通,骨折线模糊,证实达到临床愈合标准。回家主动功能锻炼,60天后弃杖行走2里路。经1年半随访观察,除骨折复位欠佳,影响膝关节轴线,导致关节轻度酸痛外,骨折部位骨结构正常。

例 4 . 男,53岁,住院号131044,1978年9月12日左小腿被石块压伤,胫腓骨下1/3开放性粉碎性骨折入院。作清创缝合,手法复位,骨牵引,小夹板固定。伤后第2天骨折血肿内注入PHA10mg,以后每隔3天重复1次,共7次。伤后22天X线显示骨折线模糊,28天作力学试验:骨折处无压痛

标准按1961年全国中西医结合骨科会议拟订的力学试验进行评价: 1.局部无压痛; 2.局部无纵向扣击痛; 3.局部无异常活动; 4.X线显示骨折线模糊, 有连续性骨痂通过骨折线; 5.外固定拆除后,下肢不扶杖下地迈 5 步、上肢向前伸手持 1 公斤物 1 分钟; 6.连续观察 2 周骨折不变形。

及纵向扣击痛,反折试验无异常活动。拆除固定与牵引,卧床自由活动患肢,3天后下地负重步行5步,未见局部畸形或疼痛,证实已临床愈合。伤后31天小夹板保护性固定出院,2个月后开始参加农业劳动,随访观察2年半,证实愈合良好能承受应力。

例5.女,28岁,住院号131662,1978年12月28日劳动中衣袖被机器卷入,引起左肱骨下1/3粉碎性骨折入院。手法复位,小注入板固定,伤后第3天开始骨折处血肿内注入PHA10mg,以后每隔2天重复1次,共4次。其间因骨折对位不佳,重作复位1次。伤后第11天病人强求出院。出院后2个月实出院后2个月实出院和X线摄片证实局价后71天),据诉约在伤后71天),据诉约在伤后行行天),据诉约在伤后行行天),据诉约在伤后行行天间参加农业劳动,未感到局部疼痛,估计该时已达到临床愈合。伤后1年再次复查,摄片证实骨折处塑形满意(图4),上肢功能完全正常。

#### 讨 论

骨折部位血肿内注射PHA诱导骨折加速愈合,方法简便、费用低廉、疗效令人满意。影响骨折愈合的因素很多,涉及病人年龄、骨折部位血液供应、感染、软组织损伤的程度等。本组病例年龄较大,骨折类型复杂并伴严重软组织损伤,但采用PHA诱导新骨形成,骨折临床愈合所需时间较常规治疗方法缩短1/3~1/2,作者认为与PHA作用有关,现提出下述三方面问题作初步探讨。

一、骨折部位的血液循环:血运丰富是骨折愈合的必需条件,有移位的骨折、特别是粉碎性骨折和软组织损伤严重者,骨膜、骨髓腔及骨周围的血管床均遭断裂、栓塞,有赖新生血管 生长 修 复。1975年Sidky和Auerbach报道一种定量敏感的移植物抗宿主反应测验方法,叫做淋巴细胞诱导血管生成。我校免疫组在该法的基础上用PHA、斑钠、生理盐水分 别 注入 3 组 纯种鼠C<sub>5</sub>,BL

的腹腔内,证实PHA注射点诱发的血管支数最多<sup>(1)</sup>。本文实验动物术后30天注射PHA处增生的毛细血管也较对照组丰富。PHA可使成熟淋巴细胞增殖,诱导血管生成。新生血管不仅加强输送成骨必需物质,而且促进骨折的修复活动,这可能与缩短骨折愈合时间有关。

二、消除血肿坏死组织:骨折部位血肿在骨愈合过程中起促进或延缓作用,目前仍有争论。作者认为欲使胶原纤维(构成骨基质的主要成份)伸入骨折间,必先通过吞噬细胞清除血肿内坏死组织,然后由纤维组织取代。PHA在刺激淋巴细胞转化的过程中,因能释放一系列的"淋巴因子",其中有吞噬细胞趋化因子和激活因子(2),能使吞噬细胞增多和能力加强,清除血凝块、坏死组织及衰亡细胞,使成骨必需的胶原纤维等在骨折处增殖、变性、钙化、骨化,对加速骨折愈合起一定作用。

此外,本组 4 例开放性骨折包括 1 例大 片软组织坏死, 1 例软组织缺损均无明显感 染,作者 认 为PHA虽不象抗菌素对炎症起 直接作用,但能提高机体的抗感染力<sup>(3)</sup>。

三、诱导成骨细胞增殖,以往认为参与 成骨活动的细胞发源于骨外膜、骨内膜和骨 小梁周围组织的"特殊"细胞;但近年来认 为间充质细胞、破骨细胞、骨膜的成纤维细 胞和软骨细胞经过一些诱导物质都可转化为 成骨细胞。此外,来自红骨髓中的网织细胞 通过同种脱矿物盐骨基质也可以诱导转化产 生成骨活动的细胞(4,5);亦有认为迁居在骨 折处的间充质细胞以骨基质的生物化学为导 向,产生细胞形态学的改变,向成骨细胞的 形态转化,颗粒细胞可以促使间充质细胞形 态发生的性能改变。经骨基质生化诱导转化 为成骨细胞(6)。根据本文动物实验标本提示 用药组的成骨细胞活动较对照组活跃, 认为 可能与PHA有关,但是PHA对成骨细胞增 殖起什么作用, 我们只能作 些 推想: PHA 可使小淋巴细胞改变形态和(下转第23页)

并将其牵向后侧,暴露屈姆长肌,在上方可见一组口径较粗的血管,此为腓血管抑或胫后血管常难辨认,如在其内侧探得胫后神经,则此血管为腓血管。腓动脉穿入屈码长肌在下行过程中分出肌枝和骨滋养血管,这些血管大部集中于上、中1/3交界处及中1/3段,因此截取腓骨应以上、中1/3为中心向上下延伸,上方锯口应不低于腓骨上1/4与下3/4交界处。为保持踝关节的稳定性,作下方锯口时应考虑保留腓骨远端不少于4cm,这样取下的腓骨既有血供保证,且又不影响供骨侧下肢的功能。

3.带血管腓骨的移植;受骨区准备就 绪,游离腓骨暂置受骨上,先试对合需吻合 的血管,并尽量设法将血管吻合口置于腓骨 的浅面,以便于吻合操作。如试对合适,则 可将腓骨固定于受骨上,要求操作简便,固 定可靠。常用的固定是将腓骨一端插入受骨 之髓腔或将供、受两骨的骨端修成相对的别 免影响骨愈合,对合合适后,用螺钉固定。 值得一提的是作了内固定尚不能取消外固 定,本组1例因术后未作外固定而造成各 骨的移位,因此外固定不可忽视。血管吻合 应在手术显微镜下进行,一般吻合 1 根动脉及 1 根静脉即可,但本组 1 例 因 静 脉 条件差,只吻合了 1 根动脉,术后 3 个月拍片见植骨处已完全愈合,此例移植骨的静脉回流是通过髓腔引流而完成,因此我们认为对于静脉条件差而无法用其他办法补救的病例,也不应放弃动脉吻接。血管吻合通畅后,应仔细止血,以防术后血肿。皮肤缝合不宜有张力,必要时可作植皮或减张缝合。

#### 参考文献

- 1. 江 让等: 58例外伤性四肢长管骨假关节的治疗。 骨科附刊 8(4): 248~251, 1964
- Taylor G I, et al: The free vascularized bone graft: A clinical extension of microvascular techniques. Plast Resconstr Surg 55: 533, 1975
- 3. Buncke H J, et al: Free osteo cutaneous flap from a rib to the tibia, Plast Resconstr Surg 59 (6): 799, 1977
- 4. Taylor Watson: One-stage repair of compound leg defects with free revascularized flaps of groin skin and Iliac bane, Plast Reconstr Surg 61(4): 494, 1978
- 5.李世骐等:旋髂浅血管在髂部皮一骨瓣移植中的应用,内部资料,1981

#### 

(紧接第14页)生理功能,转化为淋巴母细胞,但能否直接使间质细胞、破骨细胞、骨膜的成纤维细胞等改变形态和生理功能,转化为成骨细胞,没有文献可资引证,但有人给豚鼠皮内注射 PHA 后,注射部位出现颗粒细胞浸润<sup>(3)</sup>。推想骨折处注射PHA后,局部发生多量的颗粒细胞,加强间充质细胞形态发生的性能改变,向成骨细胞方向转化。从而比细胞间自然地相互诱导成为成骨细胞需要的时间有所缩短。确切的情况有待于实验证实。

(图见插页第1页)

### 参考 文献

1.浙江医科大学免疫组: PHA增进淋巴细胞诱导血

- 管生成、PHA用于肿瘤及传染病临床报告及有关 研究资料选编,第二集,第33页,1979
- 2.广州市医药工业研究所: PHA对小鼠腹腔巨噬细胞吞噬作用的观察。PHA用于肿瘤及传染病临床报告及有关研究资料选编 第二集,第11页,1979
- 3. 苏州医学院免疫研究组、PHA的抗肿瘤作用(综 述), PHA用于肿瘤治疗的临床报告及其有关研究 资料选编 第一集,第18页,1977
- 4. Nade S M L, et al. Decaleified bone as substrat for ostogenesis. J Bone and Joint Surg 57B 189, 1977
- 5. Tuli S M, et al: The ostoinductive property of decalcifide bone matrix an experimentaly study. J Bone and Joint Surg 60B, 110, 1978
- 6. Hirashi Nogami, et al: Explants transptants and Implants of carttilage and bone morphogenetic matrix Clinical Orthopaedics, 103, 253, 1974

## 植物性血球凝集素诱导新骨形成加速骨折愈合

(正文见第12页)

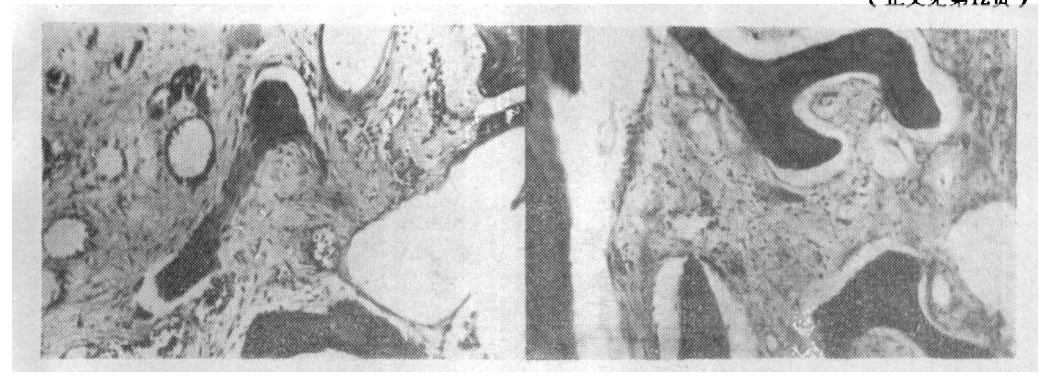


图1-1 兔 5 木后第30天,增生的纤维组织形成 骨小梁(H.E.×200)

图1-2 对照组骨小梁形成(H.E.×200)



图 2 例 1 骨折后 4 周

图 3 - 1 ~ 3 图 3 - 1 例 2 骨折后第 1 天

图3-2 骨折后13天出现骨痂

图3-3 例2骨折后18天

图 4 一 1 ~ 3

图4-1 例 5 骨折后第14天

图4-2 例 5 骨折后71天

图4-3 例5骨折后1年